

运城市 2023 – 2024 学年高三摸底调研测试

# 物理试题

2023.9

本试题满分 100 分, 考试时间 90 分钟。答案一律写在答题卡上。

**注意事项:**

1. 答题前, 考生务必先将自己的姓名、准考证号填写在答题卡上, 认真核对条形码上的姓名、准考证号, 并将条形码粘贴在答题卡的指定位置上。
2. 答题时使用 0.5 毫米的黑色中性(签字)笔或碳素笔书写, 字体工整、笔迹清楚。
3. 请按照题号在各题的答题区域(黑色线框)内作答, 超出答题区域书写的答案无效。
4. 保持卡面清洁, 不折叠, 不破损。

**一、单项选择题(本题共 10 小题, 每小题 3 分, 共 30 分。在每小题给出的四个选项中, 只有一项是符合题目要求的)**

1. 下列关于原子物理的知识, 说法正确的是

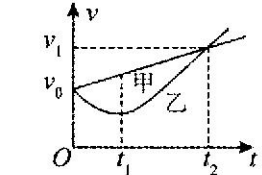
- A. 卢瑟福  $\alpha$  粒子散射实验说明原子的枣糕模型理论是正确的
- B. 在核反应方程  ${}_2^4\text{He} + {}_7^{14}\text{N} \rightarrow {}_8^{17}\text{O} + X$  中,  $X$  表示的是中子
- C.  $\beta$  射线是高速运动的电子流, 经过  $\beta$  衰变后原子在周期表中的位置向后移一位
- D. 氡的半衰期是 3.8 天, 8 个氡原子核经过 7.6 天之后, 还剩下 2 个未发生衰变

2. 平直公路上有甲、乙两车,  $t=0$  时刻从同一位置同向运动, 它们运动的  $v-t$  图象如图所示。下列说法正确的是

- A.  $t_1$  时刻甲、乙两车相距最远
- B.  $t_2$  时刻, 两车的加速度相同
- C.  $0 \sim t_2$  时间内, 乙车的速度先减小后变大
- D.  $0 \sim t_2$  时间内, 乙车平均速度大于  $\frac{v_0 + v_1}{2}$

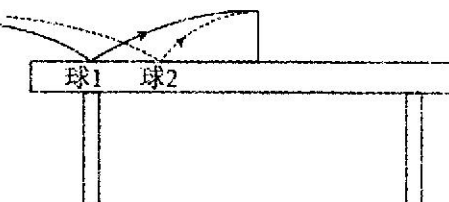
3. 风洞是进行空气动力学实验的一种主要设备。某兴趣小组为了检验飞机模型的性能, 对该模型进行了风洞实验。实验示意图如图所示,  $AB$  代表飞机模型的截面,  $OL$  为飞机模型的牵引绳。已知飞机模型重 8 N, 调节风力方向水平向右, 当风速  $v = 3 \text{ m/s}$  时牵引绳水平, 飞机模型恰好静止在空中, 此时模型截面与水平面的夹角为  $\theta = 37^\circ$ , 风洞产生的风力大小满足关系  $F = kv$  ( $k$  为常数,  $v$  为风速)。下列说法正确的是

- A. 此时作用在飞机模型上的风力大小为 6.4 N
- B. 此时牵引绳的拉力大小为 6 N
- C. 常数  $k = 2 \text{ kg/s}$
- D. 若增大风速同时保持绳子水平模型仍能静止, 则绳子的拉力一定减小



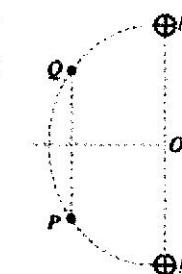
4. 在某次乒乓球比赛中, 乒乓球先后两次落台后恰好在等高处水平越过球网, 把两次落台的乒乓球看成完全相同的球 1 和球 2, 如图所示。不计乒乓球的旋转和空气阻力, 研究乒乓球自起跳到过网的过程, 下列说法正确的是

- A. 起跳时, 球 1 重力的功率大于球 2 重力的功率
- B. 起跳时, 球 1 动量的大小小于球 2 动量的大小
- C. 过网时, 球 1 的速度小于球 2 的速度
- D. 球 1 的速度变化率等于球 2 的速度变化率

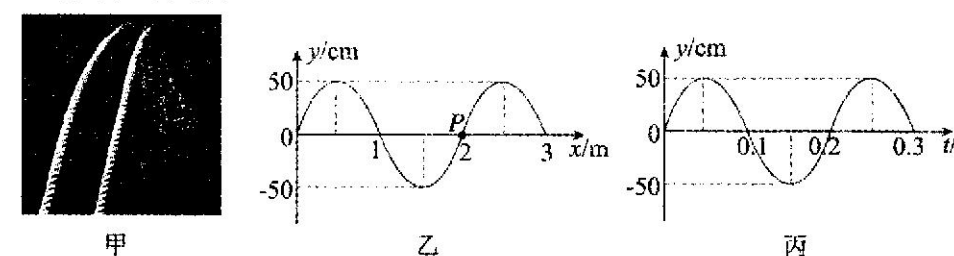


5. 如图所示, 在圆心为  $O$  的半圆周上有  $M, N, P, Q$  四点,  $MN$  是直径的两个端点,  $MN$  与  $PQ$  平行,  $MP$  之间的距离等于半径。在  $M, N$  两点分别放置等量正电荷, 下列说法正确的是

- A.  $P, Q$  两点的电场强度大小相等
- B. 电子在  $P$  点的电势能比在  $Q$  点的电势能大
- C. 正电荷沿着圆弧从  $P$  点移动到  $Q$  点的过程中, 电场力始终不做功
- D.  $P, Q$  两点的电势差等于  $O, Q$  两点的电势差

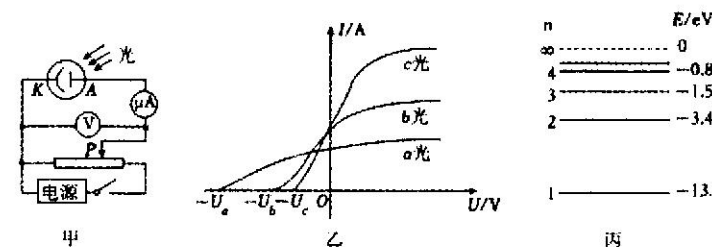


6. 如图甲, “战绳训练”是当下常见的健身方式, 健身爱好者甩动战绳令其在竖直平面内形成简谐波。图乙是某次训练中  $t=0.1 \text{ s}$  时刻战绳的波形图, 绳上质点  $P$  的振动图像如图丙所示。下列说法正确的是



- A. 该波沿  $x$  轴负方向传播
- B. 该波波源起振方向为  $y$  轴负方向
- C. 波源起振后  $0.4 \text{ s}, x=3 \text{ m}$  处的质点第一次回到平衡位置
- D. 若增大抖动的幅度, 波速会增大

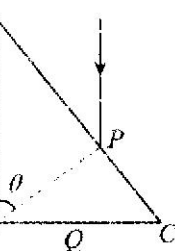
7. 一群处于第 4 能级的氢原子, 向低能级跃迁过程中能发出 6 种不同频率的光, 将这些光分别照射到图甲电路阴极  $K$  的金属上, 只能测得 3 条电流随电压变化的图象如图乙所示, 已知氢原子的能级图如图丙所示, 则下列推断正确的是



- A. 图乙中的  $c$  光是氯原子由第 4 能级向基态跃迁发出的  
 B. 图乙中的  $b$  光光子能量为 12.09 eV  
 C. 动能为 1 eV 的电子能使处于第 3 能级的氢原子电离  
 D. 阴极金属的逸出功可能为  $W_0 = 1.75 \text{ eV}$

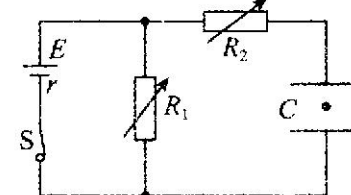
8. 一块玻璃砖的横截面为直角三角形, 如图所示,  $\angle A = 30^\circ$ ,  $\angle ABC = 90^\circ$ , 直角边  $AB$  的长度为  $l$ 。一束蓝光平行于  $AB$  从斜边  $AC$  上的  $P$  点射向玻璃砖,  $AB$  与  $BP$  夹角  $\theta = 60^\circ$ , 光线经  $AC$  面折射后从  $BC$  面上的  $Q$  点射出。已知该玻璃砖对蓝光的折射率  $n = \sqrt{3}$ , 真空中的光速为  $c$ , 则蓝光从  $P$  点传播到  $Q$  点所用时间为

A.  $\frac{l}{2c}$       B.  $\frac{\sqrt{3}l}{2c}$       C.  $\frac{l}{c}$       D.  $\frac{\sqrt{3}l}{6c}$



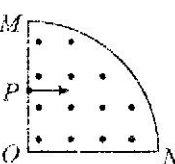
9. 如图所示, 电路中  $R_1$ 、 $R_2$  均为可变电阻, 电源内阻不能忽略, 平行板电容器  $C$  的极板水平放置。闭合电键  $S$ , 电路达到稳定时, 带电油滴悬浮在两板之间静止不动。仅改变下列某一个条件, 能使油滴继续保持不动的是

- A. 增大  $R_1$  的阻值      B. 增大  $R_2$  的阻值  
 C. 增大两板间的距离      D. 断开电键  $S$



10. 如图所示, 圆心角为  $90^\circ$  的扇形区域  $MON$  内存在方向垂直纸面向外的匀强磁场,  $P$  点为半径  $OM$  的中点。现有比荷相等的两个带电粒子  $a$ 、 $b$ , 以不同的速度大小先后从  $P$  点沿  $ON$  方向射入磁场, 粒子  $a$  从  $M$  点射出, 粒子  $b$  从  $N$  点射出, 不计粒子重力及粒子间相互作用。下列说法正确的是

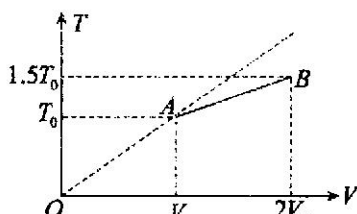
- A. 粒子  $a$  带正电, 粒子  $b$  带负电  
 B. 粒子  $a$ 、 $b$  的角速度之比为  $1:5$   
 C. 粒子  $a$ 、 $b$  的加速度大小之比为  $1:5$   
 D. 粒子  $a$  在磁场中运动时间较短



二、多项选择题(本题 5 小题, 每小题 4 分, 共 20 分。在每小题给出的四个选项中, 有多项符合题目要求。全部选对的得 4 分, 选对但不全的得 2 分, 有选错的得 0 分)

11. 一定质量的理想气体从状态  $A$  变化到状态  $B$ , 该过程的  $T-V$  图像如图所示, 则

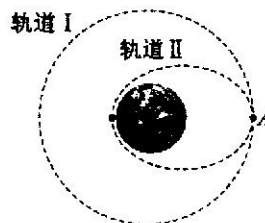
- A. 由  $A$  变化到  $B$  的过程中, 气体的压强不变  
 B. 状态  $A$  处的压强与状态  $B$  处的压强之比为  $4:3$   
 C. 由  $A$  变化到  $B$  的过程中, 气体从外界吸热  
 D. 由  $A$  变化到  $B$ , 单位时间内单位面积上气体分子对容器壁的撞击次数变少



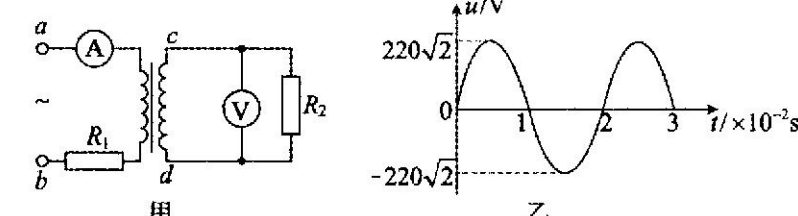
12. 2023 年 1 月 21 日, 神舟十五号 3 名航天员在 400 km 高的空间站向祖国人民送上新春祝福, 空间站的运行轨道可近似看作圆形轨道 I, 椭圆轨道 II 为神舟十五号载人飞船运行轨

道, 两轨道相切于  $A$  点, 飞船经过变轨, 可与空间站成功对接。设地球表面重力加速度为  $g$ , 地球半径为  $R$ , 下列说法正确的是

- A. 在  $A$  点时神舟十五号经过点火加速才能从轨道 II 进入轨道 I  
 B. 飞船在轨道 II 的运行周期大于空间站在轨道 I 的运行周期  
 C. 空间站在轨道 I 上的速度小于  $\sqrt{gR}$   
 D. 轨道 I 上的神舟十五号想与前方的空间站对接, 只需要沿运动方向加速即可



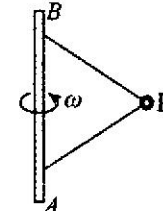
13. 某手机充电器充电时的电路可简化为如图甲所示电路, 原线圈串联一个阻值  $R_1 = 800 \Omega$  的定值电阻, 副线圈  $c$ 、 $d$  连接阻值  $R_2 = 5 \Omega$  的定值电阻,  $a$ 、 $b$  两端输入如图乙所示正弦交流电压, 理想电流表的示数为  $0.025 \text{ A}$ , 则下列说法正确的是



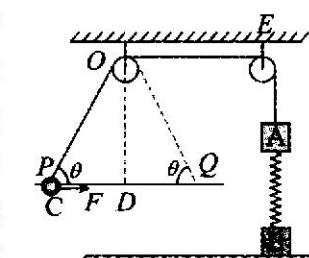
- A. 理想电压表的示数为  $10 \text{ V}$   
 B. 电阻  $R_2$  的电功率为  $5 \text{ W}$   
 C. 理想变压器原、副线圈匝数比为  $40:1$   
 D. 若电阻  $R_1$  的阻值减小, 则电阻  $R_2$  的电功率也将减小

14. 如图所示, 物体  $P$  用两根长度相等、不可伸长的细线系于竖直杆上, 它随杆转动, 若转动角速度为  $\omega$ , 则

- A.  $\omega$  只有超过某一值时, 绳子  $AP$  才有拉力  
 B. 绳子  $BP$  的拉力随  $\omega$  的增大而不变  
 C. 绳子  $BP$  的张力一定大于绳子  $AP$  的张力  
 D. 当  $\omega$  增大到一定程度时, 绳子  $AP$  的张力大于绳子  $BP$  的张力



15. 如图所示, 质量均为  $m$  的物块  $A$ 、 $B$  用轻弹簧连接并竖直放置, 轻绳绕过分别固定在同一水平面上  $O$ 、 $E$  两点的定滑轮一端与物块  $A$  相连, 另一端与质量为  $m$  的小球  $C$  相连, 小球  $C$  套在水平固定、粗细均匀的光滑直杆上。开始时, 小球  $C$  锁定在直杆的  $P$  点, 连接小球的轻绳与水平方向的夹角为  $\theta = 53^\circ$ , 物块  $B$  对地面的压力恰好为零。某时刻解除对小球  $C$  的锁定, 同时对小球  $C$  施加一个水平向右、大小为  $F$  的恒力, 小球  $C$  运动到直杆  $Q$  点时的速度达到最大,  $OQ$  与水平方向的夹角也为  $\theta$ ,  $D$  点为  $P$ 、 $Q$  两点的中点,  $P$ 、 $Q$  两点间的距离为  $L$ ,  $E$  点在物块  $A$  的正上方, 小球  $C$  运动过程中轻绳始终处于拉直状态, 弹簧始终在弹性限度内。忽



略两定滑轮的大小,已知重力加速度大小为  $g$ ,  $\sin 53^\circ = \frac{4}{5}$ ,  $\cos 53^\circ = \frac{3}{5}$ 。下列说法正确的是

A. 小球 C 从 P 点运动到 D 点的过程中,合外力对物块 A 做的功不为零

B. 小球 C 从 P 点运动到 D 点的过程中,弹簧的弹力和轻绳的拉力以及物块 A 的重力对物块 A 冲量的和为零

C. 小球 C 运动到 Q 点时的速度大小为  $\sqrt{\frac{25FL}{18m}}$

D. 小球 C 运动到 Q 点时物块 A 的加速度大小为  $|\frac{5F}{3m} - 2g|$

### 三、实验题(本题共 2 小题,共 15 分)

16.(6分)电子体重秤是生活中常用的体重测量工具,其内部装有阻值随所受压力变化的压力传感器,同学甲为了准确测定不同压力下传感器的阻值,对家中的体重秤拆解后,在原有电路上进行了改装,如图 1 所示,(图中数字电路模块阻值保持不变,且能显示称量物体的质量)。该同学实验步骤如下:

①将开关 S 接 1,在压力传感器上放上重物;

②记下数字电路模块显示的重物质量;

③将开关 S 接 2,调节电阻箱使数字电路模块显示相同质量,并记录此时电阻箱的阻值;

④将开关 S 接 1,在压力传感器上增加重物;

⑤重复②~④,获取多组数据后断开开关 S,结束实验。

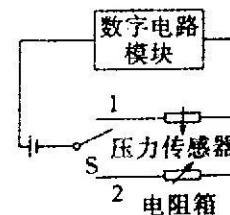


图 1

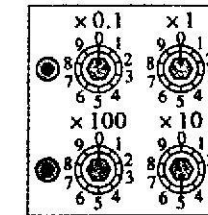


图 2

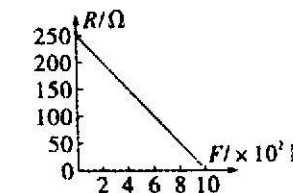
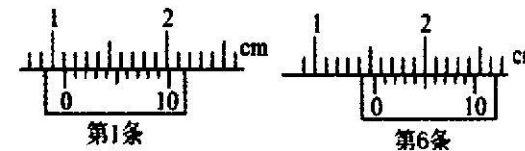


图 3

(1)某次实验过程中,电阻箱示数如图 2 所示,则此时压力传感器的电阻值为 \_\_\_\_  $\Omega$ ;

(2)同学整理了实验所得数据后,得到压力传感器的阻值与压力关系如图 3 所示,当压力传感器的阻值为  $110\Omega$  时,传感器上放置重物的质量为 \_\_\_\_ kg(重力加速度  $g$  取  $10\text{m/s}^2$ )。

17.(9分)利用双缝干涉测定光的波长实验中,双缝间距  $d = 0.4\text{ mm}$ ,双缝到光屏的距离  $L = 0.5\text{ m}$ ,用某种单色光照射双缝得到干涉条纹,测量了第 1 条至第 6 条亮纹之间的距离,游标卡尺的示数分别如下图所示



(1)分划板在第 1 条亮纹位置时,游标卡尺读数为  $x_1 =$  \_\_\_\_ mm,在第 6 条亮纹位置时,游标卡尺读数为  $x_2 =$  \_\_\_\_ mm;

(2)该单色光的波长为  $\lambda =$  \_\_\_\_ m(保留三位有效数字);

(3)关于该实验,下列说法正确的是( )

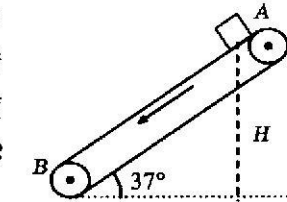
A. 若改用频率较高的单色光照射,得到的干涉条纹间距将变小

B. 若想减少从目镜中观察到的条纹个数,可以将屏向靠近双缝的方向移动

C. 若想增加从目镜中观察到的条纹个数,可以将单缝向靠近双缝的方向移动

### 四、计算题(本题共 3 小题,共 35 分)

18.(10分)机场地勤工作人员利用传送带从飞机上卸行李。如图所示,倾角为  $\theta = 37^\circ$  的传送带以恒定速率  $v_1 = 2\text{ m/s}$  运行,工作人员将包裹(可视为质点)轻放在传送带顶端,顶端 A 距离地面高度为  $H = 4.92\text{ m}$ (忽略转轴大小),包裹与传送带间的动摩擦因数  $\mu = 0.5$ ,取重力加速度  $g = 10\text{ m/s}^2$ ,  $\sin 37^\circ = 0.6$ ,  $\cos 37^\circ = 0.8$ 。求:包裹从 A 运动到 B 所需要的时间。

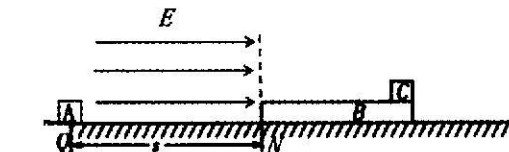


19.(12分)如图所示,在光滑水平面上 N 点的左侧有一场强  $E = 4 \times 10^3\text{ N/C}$  的匀强电场,质量为  $m_B = 1.5\text{ kg}$  的绝缘木板 B 静止在 N 点右侧,质量为  $m_C = 0.5\text{ kg}$  的小物块 C(可视为质点)静止在 B 上,BC 间动摩擦因数  $\mu = 0.2$ ,将  $m_A = 1\text{ kg}$ 、电量  $q = 1 \times 10^{-3}\text{ C}$  的带电小滑块 A(可视为质点)由静止释放,运动  $s = 2\text{ m}$  到达 N 点,与 B 发生弹性碰撞,此后 C 恰好未从 B 上滑落,求:

(1)A 运动到 N 点时的动量;

(2)滑块 C 的最大速度;

(3)木板 B 的长度。



20.(13分)如图所示,空间存在一个边长为  $3L$  的矩形有界磁场,磁感应强度大小为  $B$ 。一个边长为  $L$ ,质量为  $m$ ,电阻为  $R$  的正方形金属线框 A,以速度  $v$  沿  $x$  轴进入磁场,最终停在图示的虚线位置,(各处产生的摩擦均忽略不计)求:

(1)线框 A 刚进入磁场时加速度大小;

(2)线框 A 进入磁场的整个过程中通过线框的电荷量;

(3)线框 A 出磁场时运动的距离  $x$ 。

